

*О.І. Волошин, Л.Д. Борейко, В.І. Каленюк, Л.О. Волошина, О.Й. Хомко*

## **ЕКСПЕРИМЕНТАЛЬНИЙ ОСТЕОАРТРОЗ: МОРФОЛОГІЧНІ ТА БІОХІМІЧНІ ПАРАЛЕЛІ У ЗВ'ЯЗКУ З ЛІКУВАННЯМ**

Кафедра пропедевтики внутрішніх хвороб (зав. – проф. О.І. Волошин)  
Буковинської державної медичної академії

**Резюме.** У роботі представлено особливості стану оксидантної та антиоксидантної системи, морфологічних змін суглобового хряща і навколосуглобових тканин шурів за умов експериментального остеоартрозу та оцінку ефективності застосування ербісолу, рибоксіну та їх поєдання впродовж 12-денної лікування. Встановлена більша ефективність лікування в шурів, які отримували ербісол.

**Ключові слова:** експериментальний остеоартроз, оксидантна система, антиоксидантна система, ербісол, рибоксин, лікування.

**Вступ.** Остеоартроз (OA) – дегенеративно-дистрофічне захворювання суглобів, яке посідає чільне місце серед патологій суглобів. В останні роки спостерігається виражена тенденція до поширеності OA у молодих осіб [10].

Методи лікування цієї недуги є складними, недостатньо ефективними, а їх реалізація в умовах такої супутньої патології, як ураження систем травлення та серцево-судинної стає частково або значно унеможливленою [2, 7]. Тому розробка нових методів лікування OA та вдосконалення існуючих є актуальною проблемою [1].

**Мета дослідження.** З'ясувати стан оксидантно-антиоксидантної системи, морфологічних порушень суглобових структур за умов експериментального остеоартрозу та обґрунтувати можливість корекції виявлених змін за допомогою ербісолу і рибоксіну.

**Матеріал і методи.** Дослідження проведено на 70 білих інбредних шурах масою 180-200г з відтвореною впродовж 16 днів папайновою моделлю остеоартрозу [11]. Тварин розподілено на 6 груп залежно від умов проведення експерименту. В І групу ввійшли інтактні тварини (контрольна група). Другу групу склали тварини зі спонтанним самоодужанням (неліковані). Тварини III-VI груп після відтворення OA отримували лікування впродовж 10-12 днів: тварини III групи - ербісол дом'язово 0.05 мл/кг маси тіла. IV - рибоксин у дозі 0,035 г/кг маси тіла в йжі одпоразово. V - диклофенак натрію дом'язово по 1.5 мг/кг маси тіла. VI - ербісол та рибоксин у вищезазначених дозах. Наведені дози відповідають інструктивним вказівкам до використаних нами препаратів щодо маси тіла живих об'єктів.

Евтаназію тварин проводили шляхом декапітації під легким сферічним паркозом на висоті сформованого OA, тобто на 17-ту добу від початку експерименту та на 7-му і 12-ту доби лікування чи спонтанного самоодужання.

Дослідженю піддавали печінку, цільну кров та плазму крові тварин. У печінці визначали вміст відновленого глутатіону (ВГ) [9], активність глутатіонпероксидази (ГП) [4], глутатіон-S-трансферази (GST) [13] та каталази [6]. У цільній крові визначали концентрацію малонового альдегіду (МА) [3] та активність ГП [4], каталази [6], а в плазмі крові – рівень окиснювально модифікованих білків плазми крові (ОМБ) [8], церулоплазміну (ЦП) [5]. Результати обробляли за допомогою програми Microsoft Excel 7.0 (США) методами параметричної статистики із застосуванням критерію Стьюдента.

Найбільш уражені суглоби фіксували в 10%-ному формаліні, забуференому за методом Ліллі. Виготовлені в подальшому мікропрепарати фарбували гематоксилін-еозином та за методом Ван Гізона. Досліджували стан суглобового хряща й навколосуглобових тканин.

**Результати дослідження та їх обговорення.** Встановлено, що у тварин змодельованого OA спостерігалося помутніння хряща та втрата його блискучої, синовіальна оболонка була набряклою, а в здорових тварин (контрольної групи) патологічних змін у суглобовому хрящі не виявлено.

Мікроскопічно у тварин у розпал експериментального OA в навколосуглобових тканинах спостерігалося значне розширення кровоносних судин, їх повнокрів'я та явища сладжу еритроцитів. Підвищена кількість лейкоцитів, іноді крайове

© О.І. Волошин, Л.Д. Борейко, В.І. Каленюк, Л.О. Волошина, О.Й. Хомко, 2003

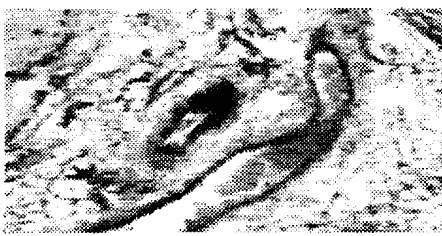


Рис.1а



Рис.1б



Рис.2а

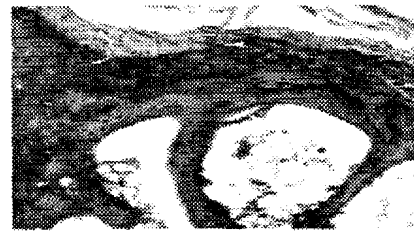


Рис.2б

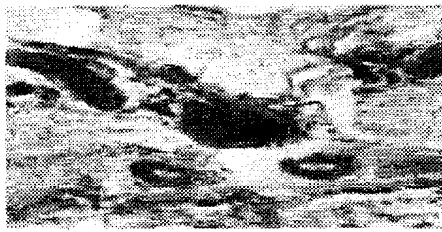


Рис.3а

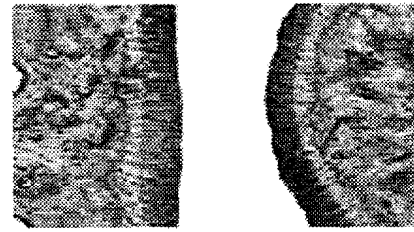


Рис.3б



Рис.4а



Рис.4б

Рис. 1. Модель остеоартрозу (розпал) у білих щурів. Гематоксилін-еозин,  $\times 100$ . а) навколосяглобові тканини; кровоносні судини розширені, містять значну кількість сладжених еритроцитів; у центрі препарата - невеликий лімфоїдноклітинний інфільтрат; б) суглобовий хрящ витончений, з поверхневим дефектом; хондроцити не формують правильних колонок, явища каріопікнозу.

Рис. 2. Морфологічна картина суглобових тканин у тварин з експериментальним остеоартрозом на 12-ту добу спонтанного самоодужання. Гематоксилін-еозин,  $\times 100$ . а) суглобова поверхня хряща, суглобовий хрящ витончений, хондроцити не формують правильних колонок, явища каріопікнозу; б) кісткові балки витончені; кістковий мозок містить в основному жирові елементи.

Рис. 3. Морфологічна картина суглобових тканин у тварин з експериментальним остеоартрозом на 12-ту добу лікування за допомогою ербісолу. Гематоксилін-еозин,  $\times 100$ . а) навколосяглобові тканини; потовщення стінок судин; б) щілина суглоба. Суглобово поверхня хряща не рівномірна.

Рис. 4а. Морфологічна картина суглобових тканин у тварин з експериментальним остеоартрозом на 12-ту добу лікування за допомогою рибоксину. Van Gieson,  $\times 100$ . Навколосяглобові тканини; потовщення стінки кровоносних судин, периваскулярний склероз.

Рис. 4б. Морфологічна картина суглобових тканин у тварин з експериментальним остеоартрозом на 12-ту добу лікування за допомогою рибоксину. Гематоксилін-еозин,  $\times 100$ . Потовщення суглобової поверхні хряща; хондроцити формують правильні колонки.

Рис. 5. Морфологічна картина суглобових тканин у тварин з експериментальним остеоартрозом на 12-ту добу лікування за допомогою ербісолу і рибоксину. Гематоксилін-еозин,  $\times 100$ . а) суглобовий хрящ витончений, явища каріопікнозу в хондроцитах; кістковий мозок переважно з жировою тканиною; б) витончені кісткові балки; кістковий мозок переважно містить кровотворні елементи.

стояння лейкоцитів вказували на наявність запального процесу. Виявлено істотні морфологічні порушення суглобового хряща, що виражалося в його потоншанні та наявності великих глибоких і дрібних поверхневих дефектів. Хондроцити мали явища каріопікнозу і не формували правильних колонок. Зазначене свідчило про суттєве ушкодження хрящової тканини. Кісткові балки в епіфізах були звичайної товщини. Кістковий мозок містив, в основному, жирову тканину, що вказувало про негативний вплив на нього модельного фактора (рис. 1).

У період вищепереданих морфологічних змін у суглобах, у печінці тварин (табл.1) спостерігали зниження рівня ВГ на 27,2% ( $p<0,01$ ) порівняно з інтактними тваринами. Зниження ВГ у печінці пов'язане, ймовірно, із гальмуванням активності глутатіон-редуктази та глюкозо-6-фосфатдегідрогенази. Виявлено компенсаторне підвищення активності ГП на 37,7% ( $p<0,001$ ) у печінці та зниження її в крові – на 14,3% ( $p<0,05$ ) (табл.2). Активність каталази була підвищеною в печінці на 36,8% ( $p<0,001$ ) та зниженою у крові на 13,9% ( $p<0,05$ ). Виявлено зниження активності GST на 25,4% ( $p<0,001$ ), збільшення вмісту МА на 52,4% ( $p<0,001$ ), рівня ОМБ - на 96,6% ( $p<0,001$ ) та ЦП – на 85,7% ( $p<0,001$ ) відносно інтактних тварин.

Таблиця 1

**Стан антиоксидантного захисту печінки щурів за умов експериментального остеоартрозу (EOA) та в процесі лікування різними засобами ( $\bar{x} \pm S_x$ ,  $n=10$ )**

Показники	ВГ, мкмоль/г тканини	ГП, мкмоль/хв·мг білка	GST, мкмоль/хв·мг білка	Кatalаза, мкмоль/ хв · мг білка
<b>Умови досліду</b>				
I група (Інтактні тварини)	7,04±0,42	180,4±4,71	65,9±1,78	184,4±3,61
EOA (модель)	5,12±0,36*	248,5±5,63*	36,7±1,14*	252,3±4,28*
II група EOA (неліковані)				
7-ма доба	6,04±0,39	233,7±4,55*	43,3±1,12***	258,2±6,69*
12-та доба	6,38±0,25**	196,1±2,65***	51,6±1,10***	226,4±6,27***
III група (EOA + ербісол)				
7-ма доба	6,60±0,17**	192,4±3,34**	54,3±1,02***	200,3±6,80**
12-та доба	7,11±0,14**	178,2±4,20**	63,0±1,71**	189,1±3,04**
IV група (EOA + рибоксин)				
7-ма доба	6,32±0,39**	206,1±3,82***	47,3±1,27***	211,4±4,16***
12-та доба	7,03±0,13**	190,9±5,35**	59,3±1,16***	196,6±1,39***
V група (EOA + диклофенак)				
7-ма доба	7,14±0,51**	170,3±1,08**	60,4±1,67***	216,4±6,04***
12-та доба	7,30±0,34**	168,1±2,08***	67,2±1,35**	162,5±3,53***
VI група (EOA + ербісол + рибоксин)				
7-ма доба	6,26±0,18**	208,4±2,1***	54,2±1,92***	210,6±1,96***
12-та доба	6,93±0,15**	194,2±3,14***	61,1±1,43**	194,8±1,67***

**Примітка.** \* - вірогідність різниці у порівнянні з інтактними тваринами; \*\* - вірогідність різниці з тваринами змодельованої групи

Виявлене свідчить, що папайнова модель ОА в період розпалу хвороби супроводжується пригніченням антиоксидантної системи, зумовленої активацією пероксидного окиснення ліпідів та окиснювальною модифікацією білків плазми крові.

При дослідженні суглобів у щурів II групи на 12-ту добу спонтанного одужання в навколосяглобових тканинах відмічалося ще суттєве потовщення стінок кровоносних судин, яке було зумовлено васкулярним та периваскулярним склерозом. Місцями спостерігались окремі ділянки рубцевоподібного склерозу, який міг згодом стати морфологічною основою зменшення рухливості в суглобі (рис.2).

На 7-му добу спонтанного одужання в печінці та крові виявлено певну тенденцію до покращання біохімічних показників (табл.1, 2). Так, рівень ВГ збільшився на 17,9% ( $p>0,05$ ). Активність каталази в печінці продовжувала зростати, що свідчило про подальшу дію модельного фактора. Активність GST підвищилася на 17,9% ( $p<0,01$ ). У плазмі крові (табл.2) рівень ОМБ та ЦП залишався ще підвищеним. Отже, динаміка біохімічних параметрів у крові та печінці в бік покращання була ще не суттєвою.

На 12-ту добу самоодужання зміни біохімічних показників були більш сприятливими порівняно з показниками тварин у період розпалу ОА. У печінці рівень

Таблиця 2

Рівень окиснювальної модифікації білків (ОМБ), церулоплазміну (ЦП) плазми та малонового альдегіду (МА), активності глутатіонпероксидази (ГП) і каталази крові пурів за умов експериментального остеоартрозу (EOA) та під впливом лікування різними засобами ( $\bar{x} \pm Sx$ , n=10)

Показники Умови досліду	ОМБ, $\lambda E_{370}/\text{г білка}$	ЦП, $\lambda E_{530}/\text{г білка}$	МА, нмоль/ мл еритроцитів	ГП, мкм/хв $\times 10^{-1}$ Hb	Кatalаза, мМ/хв $\times 10^{-1}$ Hb
I група Інтактні тварини	36,3 $\pm$ 2,51	81,4 $\pm$ 3,65	4,96 $\pm$ 0,34	177,5 $\pm$ 7,61	128,7 $\pm$ 5,26
EOA (модель)	71,4 $\pm$ 2,43*	151,2 $\pm$ 3,21*	7,56 $\pm$ 0,48*	152,0 $\pm$ 5,63*	110,7 $\pm$ 4,26*
EOA (неліковані) (II група) 7-ма доба 12-та доба	71,8 $\pm$ 4,18* 54,7 $\pm$ 3,37***	149,3 $\pm$ 6,25* 126,3 $\pm$ 5,32***	7,02 $\pm$ 0,36* 5,76 $\pm$ 0,43**	155,0 $\pm$ 6,79* 159,3 $\pm$ 5,68	112,7 $\pm$ 5,52 116,2 $\pm$ 6,20
EOA +ербісол (III група) 7-а доба 12-та доба	43,4 $\pm$ 2,82** 36,7 $\pm$ 2,35**	84,0 $\pm$ 4,23** 74,3 $\pm$ 5,82**	6,02 $\pm$ 0,35** 5,36 $\pm$ 0,41**	168,2 $\pm$ 6,55 175,6 $\pm$ 5,98**	117,3 $\pm$ 4,54 126,1 $\pm$ 3,65**
EOA+рибоксип (IV група) 7-ма доба 12-та доба	46,1 $\pm$ 4,12** 43,0 $\pm$ 3,36**	86,6 $\pm$ 4,51** 83,8 $\pm$ 2,62**	6,76 $\pm$ 0,37* 6,02 $\pm$ 0,45**	157,0 $\pm$ 6,52 169,4 $\pm$ 7,92	115,2 $\pm$ 6,76 121,8 $\pm$ 5,86
EOA + диклофенак (V група) 7-ма доба 12-та доба	48,2 $\pm$ 3,15*** 35,3 $\pm$ 2,08**	101,7 $\pm$ 5,14*** 107,0 $\pm$ 5,32***	6,81 $\pm$ 0,36* 6,37 $\pm$ 0,28*	168,5 $\pm$ 6,35 177,1 $\pm$ 4,50**	118,7 $\pm$ 5,21 129,3 $\pm$ 4,28**
EOA+ербісол+рибоксип (VI група) 7-ма доба 12-та доба	67,0 $\pm$ 6,51* 43,2 $\pm$ 5,37**	134,7 $\pm$ 3,24*** 86,1 $\pm$ 4,47**	6,48 $\pm$ 0,46* 5,98 $\pm$ 0,50**	156,3 $\pm$ 6,33 166,0 $\pm$ 5,93	116,4 $\pm$ 7,52 120,4 $\pm$ 2,43

Примітка. \* – вірогідність різниці порівняно з інтактними тваринами; \*\* – вірогідність різниці порівняно з тваринами змодельованої групи

ВГ збільшився на 24,6% ( $p<0,01$ ), активність ГП та каталази зменшилися відповідно на 21,0% ( $p<0,001$ ) і 10,2% ( $p<0,01$ ). У крові відмічали незначне зростання активності ГП і каталази. Активність GST печінки підвищилася на 40,5% ( $p<0,001$ ). Вміст МА зменшився відповідно на 23,8% ( $p<0,05$ ). У плазмі крові рівень ОМБ зменшився на 23,3% ( $p<0,01$ ), ЦП – на 16,4% ( $p<0,01$ ).

Таким чином, у тварин із спонтанним самоодужанням на 12-ту добу виявлено помірну позитивну динаміку біохімічних показників, однак вони не досягли рівня інтактних тварин, при цьому зберігалися ще значні морфологічні прояви уражень суглобового хряща і періартикулярних тканин.

При морфологічному дослідженні суглобів у тварин III групи, лікованих впродовж 12 днів ербісолом, у навколо суглобових тканин відмічалося помірне потовщення стінок судин та периваскулярний склероз. Суглобовий хрящ був без видимої патології, однак суглобова поверхня хряща місцями відрізнялася деякою нерівномірністю контурів. Кісткові балки мали звичайну будову. Кістковий мозок містив переважно жирову тканину (рис. 3). Виявлене підтверджує виражені репаративні властивості ербісулу.

Введення тваринам з ЕОА србісулу сприяло значному покращанню біохімічних показників порівняно з I групою тварин та моделью ОА. Зокрема, на 7-му добу лікування в печінці (табл.1) рівень ВГ збільшився на 28,9% ( $p<0,01$ ). Активність ГП зменшилась на 17,6% ( $p<0,001$ ), каталази – на 20,6% ( $p<0,001$ ), GST – підвищилася на 47,9% ( $p<0,001$ ). Поряд з цим у крові відмічено незначне зростання активності ГП та каталази. У плазмі крові рівень ОМБ зменшився на 39,2% ( $p<0,001$ ), ЦП – на 44,4% ( $p<0,001$ ). Отже, вже на 7-й день лікування ербісолом досягнуті істотніші позитивні зрушения біохімічних параметрів у крові, ніж у тварин із спонтанним самоодужанням.

На 12-ту добу лікування ербісолом виявлено ще більш значні зміни. У печінці рівень ВГ зріс на 38,8% ( $p<0,001$ ), активність ГП зменшилася на 28,2% ( $p<0,001$ ), каталази – на 25,0% ( $p<0,001$ ), GST – підвищилася на 71,6% ( $p<0,001$ ) порівняно з показниками тварин змодельованої групи. У крові активність ГП зросла на 15,5% ( $p<0,05$ ) і наблизилася до рівня інтактних тварин, каталази – на 13,9% ( $p<0,05$ ); вміст МА зменшився на 29,1% ( $p<0,01$ ). Рівень ОМБ плазми крові зменшився на 48,6% ( $p<0,001$ ) і досягнув рівня показників інтактних тварин, а ЦП – на 50,8% ( $p<0,001$ ).

Отже, застосування ербісолу в лікуванні тварин з ЕОА сприяло більш значному і швидкому покращанню біохімічних показників та нормалізації окремих з них, що підтверджувало антиоксидантні властивості препарату.

Мікроскопічно у тварин, лікованих впродовж 12 днів рибоксином (IV група), у навколосуглобових тканинах відмічали потовщення стінок кровоносних судин із периваскулярним склерозом, а деякі судини були звичайної товщини і без ознак склерозу. Суглобова поверхня хряща була потовщена за рахунок проліферації хондроцитів (без явищ каріопікнозу), які при цьому формували правильні колонки. Кісткові балки в епіфізі були звичайної товщини, кістковий мозок мав більше кровотворних елементів, але повної відповідності до інтактних тварин не було (рис. 4). Зазначене свідчило, що рибоксин краще впливав на репаративні процеси в періартрикулярних тканинах, ніж на зміни структури хряща і білясуглобової кістки, що було слабше вираженим, ніж при застосуванні ербісолу.

Біохімічно під дією рибоксина на 7-му добу лікування рівень ВГ (табл.1) у печінці тварин підвищився на 23,4% ( $p<0,05$ ), знизилась активність ферментів: ГП – на 17,0% ( $p<0,001$ ), каталази – на 16,2% ( $p<0,001$ ); активність GST зросла на 28,8% ( $p<0,001$ ) порівняно з показниками тварин моделі ОА. У крові виявлено незначне підвищення активності ГП та каталази, зниження вмісту МА; рівень ОМБ зменшився на 35,43% ( $p<0,001$ ) і ЦП – на 42,72% ( $p<0,001$ ).

Таким чином, на 7-у добу лікування рибоксином відмічено суттєві позитивні зрушення у ферментних системах крові та печінки.

На 12-у добу рівень ВГ порівняно із показниками тварин з моделлю ОА підвищився на 37,1% ( $p<0,001$ ) і досягнув рівня інтактних тварин. Активність ГП і каталази печінки зменшились на 23,1% ( $p<0,001$ ) і 22,0% ( $p<0,001$ ) відповідно; активність GST зросла на 61,5% ( $p<0,001$ ). У крові виявлено незначне зростання активності ГП і каталази, але ці показники ще не досягли рівня інтактних тварин. Вміст МА зменшився на 20,3% ( $p<0,05$ ). У плазмі крові рівень МБ і ЦП зменшився на 39,7% ( $p<0,001$ ) і 44,5% ( $p<0,001$ ) порівняно з тваринами змодельованої групи.

Відповідно до виявленого можна стверджувати, що застосування рибоксина в лікуванні ЕОА позитивно впливає на динаміку біохімічних показників. Однак ці зміни за 12-денний період лікування не привели до нормалізації більшості показників і були гіршими порівняно з групою тварин лікованих ербісолом.

При морфологічному дослідженні суглобів тварин, лікованих диклофенаком натрію (V група), у навколосуглобових тканинах відмічався слабовиражений периваскулярний склероз. Суглобова поверхня хряща була звичайної товщини. Хондроцити формували правильні колонки, але окремі з них мали ознаки каріопікнозу. Відмічено нерівномірне потоншення кісткових балок епіфіза. Кістковий мозок наблизився до морфологічної картини інтактних тварин (рис.5).

При біохімічних дослідженнях виявлено різнонаправленість впливу диклофенаку натрію. Він нормалізував рівень ВГ і понижував активність ГП на 32,3% ( $p<0,001$ ) та каталази на 35,5% ( $p<0,001$ ) у гомогенаті печінки (табл.1). У крові активність ГП і каталази підвищилася порівняно з показниками інтактних тварин відповідно на 16,4% ( $p>0,05$ ) і 16,7% ( $p>0,05$ ). На 7-му добу виявлено незначне пониження рівня досліджуваних показників у плазмі крові порівняно з показниками тварин змодельованої групи. Рівень ОМБ та ЦП понизився відповідно на 32,4% ( $p<0,001$ ) і 32,7% ( $p<0,001$ ). На 12-ту добу відбулась нормалізація вмісту окиснювально модифікованих білків плазми крові, тоді як рівень ЦП залишався ще підвищеним.

При застосуванні диклофенаку натрію виявлені позитивні зрушення є значно кращими, ніж у тварин із спонтанним самоодужанням, але гіршими, ніж при застосуванні рибоксина, особливо ербісолу.

Мікроскопічно у тварин VI групи, лікованих одночасним застосуванням ербісолу та рибоксина, відмічено потоншення хряща, що вкриває поверхню суглоба. Більшість хондроцитів мали явища каріопікнозу. Навколосуглобові тканини були звичайної будови. Кісткові балки епіфіза були в одних місцях нормальної товщини, а в інших – витонченими. Кістковий мозок мав також нерівномірну будову – в одних ділянках він містив переважно кровотворні елементи, а в інших – був побудований, в основному, з жирової тканини.

На 7-му добу лікування ербісолом та рибоксином рівень ВГ підвищився на 22,2% ( $p<0,05$ ). Активність ГП і каталази дещо знижилась у печінці та підвищилася незначно в крові. Активність GST зросла на 47,6% ( $p<0,001$ ). Вміст МА в крові знижився на 14,2% ( $p>0,05$ ), у плазмі рівень ОМБ та ЦП зменшився незначно порівняно з показниками тварин модельної групи.

На 12-ту добу показники покращились, однак, порівняно із показниками ін tactних тварин, вони залишалися підвищеними. Так, у печінці рівень ВГ залишився зниженим порівняно з показниками ін tactних тварин.

Активність ГП і каталази була ще підвищеною, а в крові - залишалася зниженою. У плазмі крові рівень ОМБ, ЦП були також ще підвищеними.

Отже, сумісне застосування в лікуванні ЕОА ербісолу та рибоксину не привело до очікуваної нами країці динаміки біохімічних показників крові і показало дещо гірший їх вплив на суглоби, що є певним свідченням недоцільності їх використання разом.

Таким чином, ербісол, за даними клінічних і експериментальних досліджень, є засобом з антиоксидантною дією, здатним посилювати репаративні процеси в суглобовому хрящі. Рибоксин володіє меншою репаративною та антиоксидантною діями, ніж ербісол.

**Висновки.** 1. Папайнова модель ОА призводить до значних морфологічних порушень суглобового хряща, періартрикулярних тканин та активізації в крові і печінці тварин процесів пероксидації на фоні зниження антиоксидантного захисту.

2. Застосування ербісолу в лікуванні тварин з ЕОА сприяє нормалізації біохімічних показників та відновленню структури суглобового хряща. Рибоксин добре впливає на нормалізацію біохімічних порушень у крові та печінці, на репаративні процеси в періартрикулярних тканинах, але гірше, ніж ербісол – на хрящові та підхрящові кісткові структури.

3. Сумісне застосування ербісолу і рибоксину в лікуванні експериментального остеоартрозу демонструє гірші результати дії на біохімічні порушення в крові та печінці і морфологічні – у кістковохрящових структурах та є доказом недоцільності їх поєднаного використання при ОА.

**Перспективи подальших досліджень.** Здійснені експериментальні дослідження є передумовою для апробації в клінічній практиці методики диференційованого застосування в комплексному лікуванні хворих на ОА ербісолу (з переважним супутнім ураженням системи травлення) та рибоксину (з переважним супутнім ураженням серцево-судинної системи).

**Література.** 1. Алексеева Л.И. Остеоартроз – есть надежда на улучшение качества жизни // Перидика “В мире лекарств”. – 1999. - №2. – 10 с. 2. Болатырева Т.В. Особенности лечения больных остеоартрозом с синовитом при сопутствующей сердечно-сосудистой патологии // Вестн. физиотерапии и курортологии. – 1999. - №3. – С.42-44. 3. Васильева Н.В., Мещищен И.Ф. Показники оксидантної та глутатіонової системи у крові хворих на дисциркуляторну енцефалопатію // Бук. мед. вісник. – 1998. – Т.2, №3-4. – С.3-6. 4. Геруш И.В., Мещищен И.Ф. Стан глутатіонової системи організму при дії спиртової настоянки ехінацеї цуптурової // Ліки. – 1998. - №3. – С.18-21. 5. Колб В.Г., Камышников В.С. Справочник по клінічській хімії, – Мінськ: Беларусь, 1982. – 311 с. 6. Корольчук М.А., Иванова Л.И., Майорова И.І. Метод определения активности каталазы // Лаб. дело. – 1988. - №1. – С.13-15. 7. Малкович Н.М. Застосування пилку квіткового для лікування хворих на деформуючий остеоартроз з супутніми ураженнями системи травлення // Ліки. – 1998. - №3. – С.94-97. 8. Мещищен И.Ф. Метод визначення окислювальної модифікації білків плазми (сироватки) крові // Бук. мед. вісник. – 1998. – Т.2, №1. – С.156-158. 9. Мещищен И.Ф., Петрова И.В. Окисление и восстановление глутатиона в органах крысы при введении этанона // Укр. біохим. ж. – 1983. – Т.55, №5. – С.571-573. 10. Нейко С.М., Головач Ю.Ю. Сучасні уявлення про патогенез деформуючого остеоартрозу // Укр. реуматол. ж. – 2000. - №1. – С.9-12. 11. Хлябич Г.Н., Смирнова Т.Ю., Васюков С.Е. Мукосат – эффективное средство лечения артозов / // Вестн. травматол. и ортопедии им.И.Н.Приорова. – 1997. - №4. – С.27-30. 13. Habig H.W., Pabst M.J., Jacoby W.B. Glutathione-S-Transferases // J. Biol. Chem. - 1974 - Vol. 249, N 22. - P. 7130-7139.

## EXPERIMENTAL OSTEOARTHRITIS: MORPHOLOGICAL AND BIOCHEMICAL PARALLELS IN CONNECTION WITH TREATMENT

O.I. Voloshyn, L.D. Boreiko, V.I. Kaleniuk, L.O. Voloshyna, O.Y. Khomko

**Abstract.** The paper presents the peculiarities of the state of the oxidant and antioxidant system, morphologic changes of the articular cartilage and periarticular tissues of rats under conditions of experimental osteoarthritis and an estimation of the efficacy of using erbisol, riboxin and their combination in the process of a 12 day course of treatment. Higher treatment efficacy was established in the rats that received erbisol.

**Key words:** experimental osteoarthritis, oxidant system, antioxidant system, erbisol, riboxin, treatment.

Bukovinian State Medical Academy (Chernivtsi)

Buk. Med. Herald. – 2003. – Vol. 7, №4. – P.137–142.

Надійшла до редакції 16.10.2003 року